

Поступило в Редакцию
18 ноября 1989 г.

Письма в ЖТФ, том 16, вып. 10

26 мая 1990 г.

05.1; 07; 12

© 1990

ЭВОЛЮЦИЯ НАНОСЕКУНДНЫХ УДАРНЫХ ВОЛН
И ВРЕМЯ ФАЗОВОГО ПЕРЕХОДА
В АРМКО-ЖЕЛЕЗЕ

Б.И. Громов, М.В. Ерофеев,
А.А. Калин, В.А. Моисеев

Воздействие лазерного импульсного излучения интенсивностью $\varphi = 10^{12} \text{ Вт}/\text{см}^2$ на металлы вызывает в них значительное число ударно-волновых (УВ) процессов [1, 2], пороговые амплитудно-временные характеристики которых из-за значительных экспериментальных трудностей изучены фрагментарно. Одним из таких процессов в железе является фазовое превращение ($\Phi\Gamma$) $\alpha \rightarrow \gamma$ (ОЦК) $\xrightarrow{\longrightarrow}$ (ГПУ), для протекания которого необходимо давление $P > P_{\Phi\Gamma} = 13 \text{ ГПа}$ [3, 4].

Для описания подобных процессов в металле широко используются феноменологические модели, в качестве временных параметров в уравнениях которых входят максимальная скорость [4] или минимальное время превращения [3].

В работе [5] с помощью измерения длительности УВ определено время $\alpha \rightarrow \gamma$ превращения, составившее $\tau_{\Phi\Gamma} = 0.2 \text{ мкс}$ и имеющее тот же порядок, что и характеристические времена химических процессов ($\tau_{хп} = 0.1+1 \text{ мкс}$) в используемых взрывчатых веществах (ВВ) [4]. Это, по нашему мнению, затрудняет точное определение времени фазового перехода в случае, когда $\tau_{\Phi\Gamma} \leq \tau_{хп}$.

Лазерное импульсное нагружение металлов позволяет генерировать УВ импульсы от микросекундной до наносекундной длительности [7], амплитуда которых может достигать $P \sim 1 \text{ ТПа}$ [1, 6]. Последующее изучение структуры материала дает возможность выявить зоны $\Phi\Gamma$ [2], сопоставляя размеры которых с известными амплитудно-временными параметрами УВ можно определить $\tau_{\Phi\Gamma}$ при $P \geq P_{\Phi\Gamma}$.

Целью данной работы являются определение по результатам металлофизического изучения времени $\alpha \rightarrow \gamma$ $\Phi\Gamma$ в железе под действием лазерных ударноволновых импульсов.

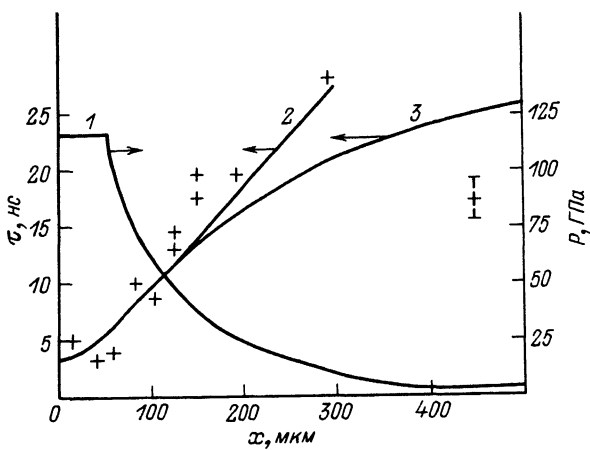


Рис. 1.

Исследования проведены на отожженных образцах из армко-железа с размером зерна $\zeta_3 = 150\text{--}300$ мкм. Мишени однократно облучались в вакууме лазерными импульсами с длительностью по полувысоте $\tau_{1/2} = 3$ нс и $\tau_{1/2} = 23$ нс при $q \leq 5 \cdot 10^{12}$ Вт/см², что соответствует величинам давления на фронте УВ на поверхности мишени $P = 115\text{--}140$ ГПа [6].

Современные методы регистрации таких УВ позволяют определить закономерности их затухания, но не дают возможность исследовать изменяющегося [8] при распространении УВ в металле ее пространственно-временного профиля, что существенно обедняет информацию, получаемую из лазерного эксперимента.

Эволюция амплитудно-временного профиля УВ по толщине мишени в нашем эксперименте изучали с помощью гидродинамической модели, предварительно тестированной как по амплитуде, так и по длительности волны сжатия.

О длительности УВ импульса можно судить по размерам двойников в мишени и, оценочно, по толщине откольной пластины при единичном разрушении [9].

Известно, что зная размеры двойников, можно определить толщину фронта УВ [10]. Однако, если время релаксации касательных напряжений ($\tau_p = 200$ нс [11]) больше времени действия импульса сжатия, т.е. $\tau_p > \tau_u$, то можно считать, что размер двойников характеризует уже длительность самой УВ. Так как на границе зерна рост двойников может затормозиться или совсем прекратиться, то его размер выбирался из условия, что $\zeta_3 > C_g \tau_u$, где $C_g = 2.5 \cdot 10^3$ м/с - скорость роста двойника [11].

В образцах, облученных 3 нс лазерным импульсом, прослеживается корреляция между размерами двойников и расстоянием от нагружаемой поверхности. На рис. 1 представлена рассчитанная

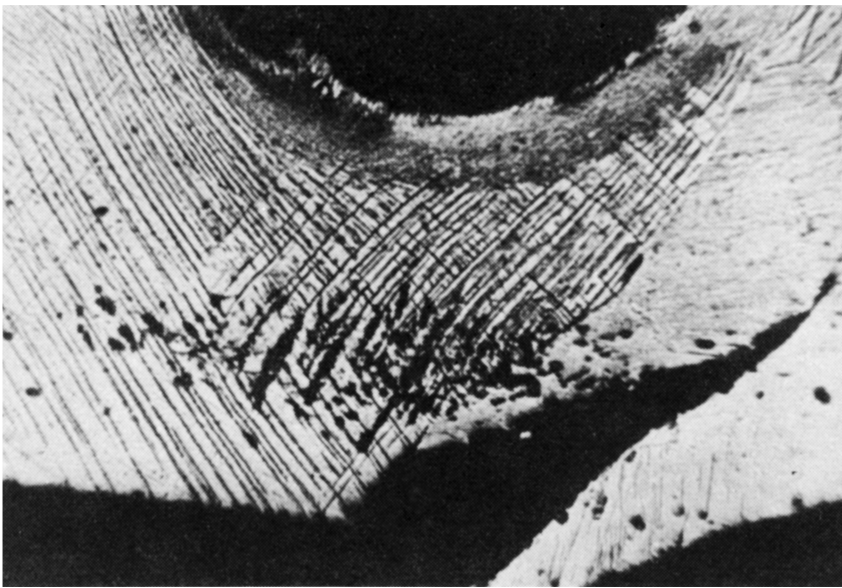


Рис. 2.

по гидродинамической модели зависимость амплитуды УВ (1), ε_{u} с учетом (2) и без учета (3) упругого предвестника, а также экспериментально определенные из размеров двойников значения ε_{u} . Согласие экспериментальных результатов с рассчитанной кривой (2), позволяет заключить, что эта гидродинамическая модель затухания УВ является реалистичной.

Фазовое превращение в армко-железе, предварительно нагруженного лазерным импульсом, идентифицировали [12] как зону металла, имеющую после металлографического травления измененный (темный) цвет (см. рис. 2), на границе которой упрочнение материала изменяется скачком и составляет ~ 3 (под упрочнением понимается отношение микротвердости деформированного материала Н к исходной H_0). Известно [12], что при нагружении армко-железа УВ, максимальное упрочнение материала имевшего $\Delta \rightarrow \varepsilon$ переход ~ 3 , тогда как в металле без ФП $H/H_0 \leq 2$.

Глубина микрократера в случае $\varepsilon_{1/2} = 23$ нс - 250 мкм, толщина измененной зоны, примыкающей к кратеру ~ 40 мкм. По численному расчету давление УВ на глубине $250+40 \approx 300$ мкм составляет около 13 ГПа $\varepsilon_u = 55$ нс.

По совокупности перечисленных фактов можно заключить, что при нагружении армко-железа $\varepsilon_{1/2} = 3$ нс импульсами, в металле $\Delta \rightarrow \varepsilon$ превращение отсутствовало, а при $\varepsilon_{1/2} = 23$ нс имело место обратимое ФП (рис. 2).

Обобщая результаты металлографических исследований образцов, численного счета, получили, что время $\alpha \approx \varepsilon$ ФП в армко-железе зависит от амплитуды УВ и значительно меньше значений, полученных в работе [5].

Так, при $P=100$ ГПа длительность УВ импульса, при котором имеет место ФП, составляет $\tau_H = 16 \pm 8$ нс, при $P=80$ ГПа, $\tau_H = 25 \pm 15$ нс, при $P=13$ ГПа, $\tau_H \leq 42$ нс.

Список литературы

- [1] Бурдонский И.Н., Ерофеев М.В., Калин А.А. и др. // Письма в ЖТФ. 1984. Т. 10. № 5. С. 290-293.
- [2] Котте Ф. Образование и затухание ударной волны, наведенной лазером в металлической мишени. ВЦП, перевод № Л-57800, 1986. 88 с.
- [3] Dubal G.E., Graham E.A. // Reviews of modern Physics, 1977. V. 49. N 3. P. 523-579.
- [4] Нигматуллин Р.И. Динамика многофазных сред. Ч. 1, М.: Наука, 1987. 464 с.
- [5] Новиков С.А., Дивнов И.И., Иванов А.Г. // ФММ. 1966. Т. 21. № 2. С. 184-191.
- [6] Анисимов С.И., Прохоров А.М., Фортов В.Е. // Изв. АН СССР, сер. Физическая. 1982. Т. 46. № 6. С. 1081-1089.
- [7] Anderson N.C. // Appl. Phys. Lett. 1969. V. 16. N 3. P. 113-115.
- [8] Trainor R.L., Lee Y.T. // Phys. Fluids. 1982. V. 25. N 10. P. 1898-1907.
- [9] Никифоровский В.С., Шемякин Е.И. Динамическое разрушение твердых тел. Новосибирск: Наука, 1979. 272 с.
- [10] Могилевский М.А. // ФГВ. 1973. Т. 9. № 6. С. 905-909.
- [11] Мейерс М.А., Мурр Л.Е. В сб.: Ударные волны и явления высокоскоростной деформации металлов / Под ред. М.А. Мейерса и Л.Е. Мурра, М.: Металлургия, 1985. С. 121-151.
- [12] Дерибас А.А. Физика упрочнения и сварки взрывом, Новосибирск: Наука, 1980. 222 с.

Поступило в Редакцию
26 января 1990 г.